

УДК 661.668:548.737

**АКТИВАЦИЯ СВЯЗИ С—S В МЯГКИХ УСЛОВИЯХ: РЕНТГЕНОСТРУКТУРНОЕ И СПЕКТРОСКОПИЧЕСКОЕ ИССЛЕДОВАНИЕ КЛАСТЕРА  $\text{Ru}_4(\mu_4\text{-S})(\mu,\eta^3\text{-C}_3\text{H}_5)_2(\text{CO})_{12}$**

© 2008 И.Ю. Приходько<sup>1</sup>, В.П. Кирин<sup>\*1</sup>, В.А. Максаков<sup>1</sup>, А.В. Вировец<sup>1</sup>, А.В. Головин<sup>2</sup>

<sup>1</sup>Институт неорганической химии им. А.В. Николаева СО РАН, Новосибирск

<sup>2</sup>Новосибирский государственный университет

Статья поступила 20 июля 2007 г.

Синтезирован и исследован методами ИК и ЯМР спектроскопии комплекс  $\text{Ru}_4(\mu_4\text{-S})(\mu,\eta^3\text{-C}_3\text{H}_5)_2(\text{CO})_{12}$ , определена его кристаллическая структура (автоматический четырехкружный дифрактометр Bruker-Nonius X8 Apex, оснащенный двухкоординатным CCD-детектором, при температуре 100 К с использованием излучения молибденового анода ( $\lambda = 0,71073 \text{ \AA}$ ) и графитового монохроматора). Кристалл принадлежит к ромбической сингонии с параметрами элементарной ячейки  $a = 19,3781(9)$ ,  $b = 12,2898(7)$ ,  $c = 10,1726(4) \text{ \AA}$ ,  $V = 242206(2) \text{ \AA}^3$ , пространственная группа  $Pnma$ ,  $Z = 4$  состава  $\text{C}_{18}\text{H}_{10}\text{O}_{12}\text{Ru}_4\text{S}$ ,  $d_{\text{выч}} = 2,343 \text{ г}/\text{см}^3$ . Молекула, имеющая точечную симметрию  $C_1$ , располагается на зеркальной плоскости пространственной группы  $Pnma$ . При этом две карбонильные группы при атомах Ru2, Ru3 налагаются с весом 50 % на аллильный лиганд таким образом, что атомы углерода совпадают. Таким образом, в данном случае мы имеем ситуацию рацемической кристаллической структуры с наложением друг на друга двух энантиомеров молекулы  $\text{Ru}_4(\mu_4\text{-S})(\mu,\eta^3\text{-C}_3\text{H}_5)_2(\text{CO})_{12}$ .

**Ключевые слова:** кристаллическая структура, карбонильные кластеры рутения, аллил, активация связей C—S.

**ВВЕДЕНИЕ**

Синтезу соединений переходных металлов с мостиковыми углеводородными лигандами, содержащими кратную связь C—C, уделяется большое внимание. Это связано с возможностью проявления интересных электрических и оптических свойств материалами, основанными на данных соединениях [1]. С другой стороны, исследование реакций, протекающих с разрывом или образованием связей C—S, важно как для понимания процессов гидросульфурирования, так и для органического синтеза [2]. Несмотря на то что группировка  $\text{PPh}_2$  изоэлектронна фрагменту SR, кластерная химия с лигандами, содержащими S—C(алкил), остается мало исследованной. В данной статье мы сообщаем о рентгеноструктурном и спектроскопическом исследовании кластера  $\text{Ru}_4(\mu_4\text{-S})(\mu,\eta^3\text{-C}_3\text{H}_5)_2(\text{CO})_{12}$ , полученного в реакции  $\text{H}_4\text{Ru}_4(\text{CO})_{12}$  с диаллилсульфидом.

**ЭКСПЕРИМЕНТАЛЬНАЯ ЧАСТЬ**

Растворители были очищены по стандартным методикам. Реакцию проводили в атмосфере аргона.  $\text{H}_4\text{Ru}_4(\text{CO})_{12}$  получен аналогично [3] с использованием в качестве исходного соединения  $\text{K}_4\text{Ru}_2\text{OCl}_{10}$ ,  $\text{SAllyl}_2$  перед использованием перегнан в вакууме. Протекание реакции контролировали с помощью ТСХ, для выделения продуктов реакций — метод ТСХ на пластинах Silufol и стеклянные пластины с носителем "Silicagel 60 PF254" фирмы Merck. ИК спектры по-

\* E-mail: kirin@che.nsk.su

Таблица 1

Кристаллографические характеристики и детали дифракционного эксперимента для соединения 2

Формула	$\text{C}_{18}\text{H}_{10}\text{O}_{12}\text{Ru}_4\text{S}$
Мол. масса	854,60
Температура, К	100
Излучение ( $\lambda$ , Å)	0,71073
Сингония	Ромбическая
Пр. гр.	$Pnma$
$Z$	4
$a, b, c$ , Å	19,3781(9), 12,2898(7), 10,1726(4)
$V$ , Å <sup>3</sup>	2422,6(2)
$\rho_{\text{выч}}$ , г/см <sup>3</sup>	2,343
$\mu$ , мм <sup>-1</sup>	2,591
$F(000)$	1624
Размеры кристалла, мм	0,28 × 0,22 × 0,12
Область сбора данных по $\theta$ , град.	2,10—50
Интервалы индексов отражений	$-22 \leq h \leq 23, -14 \leq k \leq 14, -12 \leq l \leq 12$
Измерено отражений	8981
Независимых отражений	2226 ( $R_{\text{int}} = 0,0624$ )
Отражений с $I \geq 2\sigma(I)$	1890
Метод уточнения	Полноматричный МНК по $F^2$
Число уточняемых параметров	197
$R_1$ ( $I > 2\sigma(I)$ )	0,0681
$wR_2$ (все отражения)	0,1538
GOOF (все отражения)	1,091
Остаточная электронная плотность (min/max), е/Å <sup>3</sup>	1,783 / -1,939

лучены на спектрометре Scimitar FTS 2000, ЯМР спектры получены на спектрометре Bruker DPX-250 при комнатной температуре с использованием сигнала TMS в качестве внутреннего стандарта.

**Реакция  $\text{H}_4\text{Ru}_4(\text{CO})_{12}$  с SALLYL<sub>2</sub>.** Раствор 112 мг  $\text{H}_4\text{Ru}_4(\text{CO})_{12}$  ( $1,5 \times 10^{-4}$  моль) с 54 мг SALLYL<sub>2</sub> ( $4,7 \times 10^{-4}$  моль) в диоксане нагревали при 70 °C в течение 25 ч. После окончания реакции (контроль по ТСХ) растворитель удаляли в вакууме, а остаток делили хроматографически, используя петролейный эфир ( $t_{\text{кип}} = 67$  °C) в качестве элюента. Выделяли три основные фракции с  $R_f$ , равным 0,9, 0,7 и 0,5 соответственно. Первая фракция — комплекс 1 (8 мг), вторая — комплекс 2 (23 мг, 15 %), третья — комплекс 3 (9 мг). Монокристалл комплекса 2 желтого цвета получен при кристаллизации из смеси гексан/CH<sub>2</sub>Cl<sub>2</sub> (10:1).

**Комплекс 1.** ИК спектр (CCl<sub>4</sub>,  $\nu_{\text{CO}}$ , см<sup>-1</sup>): 2104 оч.сл, 2086ср, 2077 сл, 2064 сл, 2056 оч.с, 2049ср, 2016 с, 2008 с, 1995ср. Спектр <sup>1</sup>H ЯМР ( $\delta$ , м.д.): 7,97 д (1H,  $J$  7,78 Гц), 5,18 дт (1H  $J$  6,04, 1,73 Гц) 4,75 м.

**Комплекс 2.** ИК спектр (CCl<sub>4</sub>,  $\nu_{\text{CO}}$ , см<sup>-1</sup>): 2089 с, 2081 сл, 2069 с, 2055 оч.с, 2019ср, 1997 с. Спектр <sup>1</sup>H ЯМР ( $\delta$ , м.д.): 5,07 м (1H, H<sub>centr</sub>), 2,27 дт (1H,  $J$  7,79, 2,08 Гц, H<sub>syn</sub>), 2,02 дт (1H,  $J$  7,50, 2,68 Гц, H<sub>syn</sub>), 0,89 дд (1H,  $J$  13,07, 1,90 Гц, H<sub>anty</sub>), 0,36 дд (1H,  $J$  12,78, 2,99 Гц, H<sub>anty</sub>), -17,81 с (1H,  $\mu$ -H), <sup>13</sup>C{<sup>1</sup>H}-ЯМР( $\delta$ , м.д.): 96,94 (CH), 22,08 (CH<sub>2</sub>), 17,61 (CH<sub>2</sub>).

**Комплекс 3.** ИК спектр (CCl<sub>4</sub>,  $\nu_{\text{CO}}$ , см<sup>-1</sup>): 2089 с, 2081ср, 2067 с, 2056 с, 2031ср, 2024ср, 2007ср, 1998 с.

Строение соединения 2 установлено методом рентгеноструктурного анализа монокристаллов. Кристаллографические характеристики и детали дифракционного эксперимента приведены в табл. 1. Все измерения проведены по стандартной методике на автоматическом четырехкруж-

Таблица 2

Основные длины связей, Å в соединении 2

Связь	<i>d</i>	Связь	<i>d</i>	Связь	<i>d</i>
Ru(1)—Ru(1)	2,871(2)	Ru(2)—Ru(3)	2,8343(19)	Ru(3)—S(1)	2,398(4)
Ru(1)—S(1)	2,394(3)	Ru(2)—S(1)	2,396(4)	Ru(3)—C(32)	2,03(3)
Ru(1)—C(13)	2,205(12)	Ru(2)—C(22)	2,09(2)	C(15)—C(13)	1,414(17)
Ru(1)—C(14)	1,905(12)	Ru(2)—C(22)	2,09(2)	C(22)—C(24)	1,49(3)
				C(24)—C(32)	1,52(4)

ном дифрактометре Bruker-Nonius X8 Apex, оснащенном двухкоординатным CCD-детектором, при температуре 100 К с использованием излучения молибденового анода ( $\lambda = 0,71073 \text{ \AA}$ ) и графитового монохроматора. Интенсивности отражений измерены методом  $\varphi$ - и  $\omega$ -сканирования узких ( $0,5^\circ$ ) фреймов до  $2\theta = 50^\circ$ . Поглощение учтено эмпирически по программе SADABS [4], алгоритм которой опирается на различие в интенсивности эквивалентных или многократно измеренных рефлексов. Структура расшифрована прямым методом и уточнена полноматричным МНК в анизотропном для неводородных атомов приближении по комплексу программ SHELX-97 [5]. Атомы водорода упорядоченной аллильной группы уточнены в приближении жесткого тела, для разупорядоченной — не найдены. Основные длины связей приведены в табл. 2.

Представительность монокристалла **2** доказывается хроматографической чистотой фазы, однотипностью окраски и габитуса кристаллов и тем обстоятельством, что в ходе предварительного отбора кристаллов на дифрактометре все проверяемые кристаллы показали одинаковые параметры элементарной ячейки. К сожалению, малое количество вещества не позволяет получать порошковые дифрактограммы для **1—3**.

### ОБСУЖДЕНИЕ РЕЗУЛЬТАТОВ

В реакции кластерного комплекса  $\text{H}_4\text{Ru}_4(\text{CO})_{12}$  с  $\text{SAllyl}_2$  при нагревании до  $70^\circ\text{C}$  было выделено три соединения. Для основного продукта,  $\text{Ru}_4(\mu_4\text{-S})(\mu,\eta^3\text{-C}_3\text{H}_5)_2(\text{CO})_{12}$  (комплекс **2**), был выращен монокристалл и с помощью рентгеноструктурного анализа установлена его структура.

Строение молекулы комплекса **2** показано на рис. 1. Два Ru-фрагмента связаны  $\mu_4$ -мостиковой серой с образованием довольно редкого структурного металлофрагмента  $\text{Ru}_4(\mu_4\text{-S})$ : поиск в КБСД выявил на настоящее время только два структурно охарактеризованных соединения с таким каркасом  $\text{Ru}_4(\mu_4\text{-S})(\mu_2\text{-}\eta^2\text{-2-C}_2\text{SiMe}_3)_2(\text{CO})_6$  [6] и  $\text{Ru}_6(\mu_4\text{-S})_2(\mu_2\text{-пиридин-C}_2\text{N})_2(\text{CO})_{18}$  [7]. Связи Ru—Ru в комплексе **2** (2,871(2) Å) несколько длиннее связей Ru—Ru в этих структурах (2,714(11) и 2,723(3) Å соответственно), в то время как связи Ru—S близки по длине. Угол RuSRu в комплексе **2** также несколько больше аналогичных углов описанных комплексов. На каждой связи Ru—Ru в комплексе **2** дополнительно координирован  $\mu,\eta^3$ -способом аллильный лиганд. Расстояния Ru1—C13, Ru1—C15 (см. рис. 1) составляют 2,205(13) и 2,608(14) Å соответственно, и близки к известным аналогичным расстояниям для аллильного фрагмента, координированного подобным образом. Длины связей Ru2—C22 и Ru3—C32 слегка отличаются друг от друга. Однако в данном случае происходит наложение концевых атомов углерода на углероды карбонильных групп (см. далее), и сравнивать значения этих длин связей не имеет смысла. Связи C—C в аллильном фрагменте (1,413(18) Å) и угол между ними ( $124,55(91)^\circ$ ) также близки к значениям для симметрично-мостикового аллильного лиганда.

В кристалле молекула, имеющая точечную симметрию  $C_1$ , располагается на зеркальной плоскости пространственной группы  $Pnma$ . При этом две карбонильные группы при атомах Ru2, Ru3 налагаются с весом 50 % на аллильный лиганд таким образом, что атомы углерода совпадают (рис. 2). Кроме того, одна из карбонильных групп также разупорядочена относительно зеркальной плоскости. Атомы C22 и C32 принадлежат одновременно группам CO и ли-

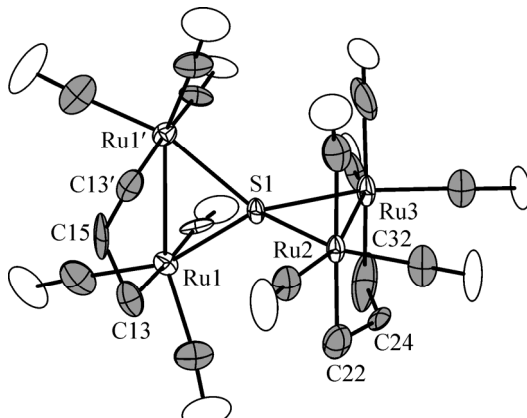


Рис. 1. Строение молекулы **2** (эллипсоиды атомных смещений 50%-й вероятности). Показано только одно из двух положений разупорядоченного аллильного лиганда

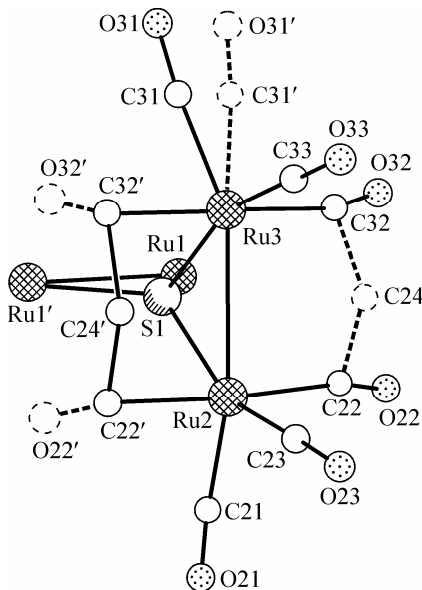


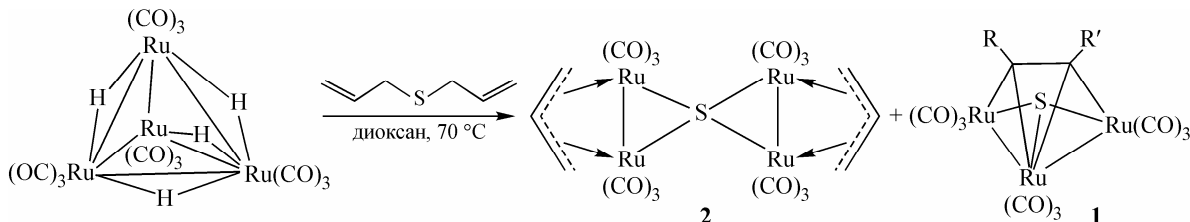
Рис. 2. Разупорядоченность в структуре соединения **2**.

Атомы, связанные с исходными плоскостью симметрии, имеют в названии символ штриха. Координационное окружение атома Ru1 и Ru1' опущено для ясности

ганду  $\text{CH}_2\text{CHCH}_2$ , в то время как атомы C24, O22 и O32 занимают позиции на 50 %. К сожалению, даже при условии низкотемпературного дифракционного эксперимента не удалось наблюдать ожидаемого расщепления позиций C22 и C32 на "аллильные" и "карбонильные". Попытка расшифровки структуры в пространственной группе  $Pna2_1$ , где зеркальная плоскость отсутствует, не привела к исчезновению разупорядочения. Таким образом, в данном случае мы имеем ситуацию рацемической кристаллической структуры с наложением друг на друга двух энантиомеров молекулы **2**.

Данные ИК и  $^1\text{H}$  ЯМР спектроскопии для комплекса **2** в целом соответствуют данным РСА. Стоит отметить, что спектр  $^1\text{H}$  ЯМР указывает присутствие в комплексе двух эквивалентных, но несимметричных  $\mu,\eta^3$ -аллильных лигандов — каждый из протонов  $\text{C}_3\text{H}_5$  проявляется в виде отдельного сигнала (см. Экспериментальную часть). Это говорит о том, что симметрия аллильного лиганда в растворе не сохраняется.

Для соединений **1** и **3**, в связи с малыми выходами, структуру установить не удалось, они охарактеризованы ИК спектроскопией, а комплекс **1** — и  $^1\text{H}$  ЯМР спектроскопией. На основании близости ИК спектра **1** в области валентных колебаний групп CO аналогичному спектру  $\text{Ru}_3(\text{CO})_9(\mu_3\text{-S})(\mu_3\text{-Me}_3\text{SiC}_4\text{SiMe}_3)$  [6] мы предполагаем, что он также содержит разомкнутый  $\text{Ru}_3$ -треугольник с лигандом  $\mu_3\text{-S}$  и мостиковым углеводородным лигандом. Следовательно, взаимодействие диаллилсульфида с  $\text{H}_4\text{Ru}_4(\text{CO})_{12}$  можно отразить следующей схемой:



Информацию о составе и способе координации углеводородного фрагмента для комплекса **1** получить не удалось, так как ЯМР спектр соединения не поддается однозначной интерпретации.

Таким образом, в достаточно мягких условиях происходит разрыв обеих связей S—C. Подобные процессы важны с точки зрения возможности проведения реакций десульфуризации (например, нефтепродуктов), а также с точки зрения органического синтеза. Десульфуризация диаллилсульфида отличает приведенную выше реакцию от аналогичных реакций диалкилсульфидов с кластерными комплексами осмия, в которых либо лиганд сохраняет свою целостность [8], либо происходит разрыв только одной из связей S—C [9].

#### СПИСОК ЛИТЕРАТУРЫ

1. (а) *Wittall I.R., McDonagh A.M., Humphrey M.G., Samoc M.* // *Adv. Organomet. Chem.* – 1998. – **42**. – P. 291; (б) *Long N.J.* // *Angew. Chem., Int. Ed. Engl.* – 1995. – **34**. – P. 21; (в) *Bruce M.I., Low P.J., Zaitseva N.N. et al.* // *J. Chem. Soc., Dalton Trans.* – 2000. – P. 2939; (г) *Low P.J., Rousseau R., Lam P. et al.* // *Organometallics.* – 1999. – **18**. – P. 3897.
2. *Angelici R.I.* // *Polyhedron.* – 1997. – **16**. – P. 3073; (б) *Bianchini C., Masi D., Meli A. et al.* // *Organometallics.* – 1998. – **17**. – P. 2495; (в) *Bianchini C., Meli A.* // *Acc. Chem. Res.* – 1998. – **31**. – P. 109; (г) *Sanchez-Delgado R.A.* // *J. Mol. Catal.* – 1994. – **86**. – P. 287; (д) *Han R., Hillhouse G.L.* // *J. Amer. Chem. Soc.* – 1998. – **120**. – P. 7657; (е) *Tucci G.C., Holm R.H.* // *Ibid.* – 1995. – **117**. – P. 6489; (ж) *Matsunaga P.T., Hillhouse G.L.* // *Angew. Chem., Ed. Int. Engl.* – 1994. – **33**. – P. 1748; (з) *Adams H., Bancroft M.N., Morris M.J.* // *Chem. Commun.* – 1997. – P. 1445.
3. *Roveda C., Cariati E., Lucenti E., Roberto D.* // *J. Organomet. Chem.* – 1999. – **580**. – P. 117.
4. *Sheldrick G.M.* SADABS. Program for Absorption Correction with the SMART System. – Germany, Univ. of Göttingen, 1996.
5. *Sheldrich G.M.* SHELLX-97, release 97-2. – Germany, University of Goettingen, 1998.
6. *Alcalde M.I., Carte A.J., Chi Y. et al.* // *J. Chem. Soc. Dalton Trans.* – 2001. – P. 2502.
7. *Hardcastle K.I., Cockerton B.R., Deeming A.J., Karim M.* // *Ibid.* – 1992. – P. 1607.
8. *Kirin V.P., Maksakov V.A., Virovets A.V., Golovin A.V.* // *Inorg. Chem. Commun.* – 2000. – **3**. – P. 224.
9. *Adams R.D., Pompeo M.P.* // *Organometallics.* – 1990. – **9**. – P. 2651; (б) *Adams R.D., Cortopassi J.E., Jamamoto J.H., Wu Wengan* // *Ibid.* – 1993. – **12**. – P. 4955.